

بررسی استحکام فشاری چدن نشکن آستمپر شده

محمد ضرابیان
کارشناسی ارشد

محمد علی بوترابی
دانشیار

دانشکده مهندسی مواد، دانشگاه علم و صنعت ایران
مرکز تحقیقات ریخته گری

چکیده

چدن نشکن حاوی عناصر آلیاژی مس، نیکل، منگنز و مولیبدن ریخته گری شد و تحت عملیات آستمپرینگ قرار گرفت. انتخاب دو دمای آستنیته و آستمپر و نیز دو زمان متفاوت آستمپرینگ سبب گردید که مطالعه تشکیل بینیت در دامنه وسیعتری انجام پذیرد. نتایج حاصل شده از آزمایش حاکی است که با انجام عملیات حرارتی آستمپرینگ استحکام فشاری چدن نشکن بهبود یافته و همچنین خواص مکانیکی، متأثر از ریز ساختار است و کلیه عواملی که بر ریز ساختار تأثیر می گذارند، سبب تغییر در استحکام فشاری میشوند. این عوامل عبارتند از دمای آستنیته (T_a)، دما (T_c) و زمان (tA) آستمپرینگ.

افزایش دمای آستنیته سبب کاهش استحکام فشاری بر روی نمونه هایی که در دما و زمان مشابه آستمپر شده اند می گردد. همچنین با افزایش دمای آستمپرینگ، استحکام فشاری نمونه های چدن نشکن کاهش می یابد و نیز با افزایش زمان آستمپرینگ استحکام فشاری افزایش می یابد.

An Investigation into the Compression Strength of Austempered Ductile Iron

M. A. Boutorabi
Associate Professor

M. Zarabian
M.SC

Casting Research Centre, Materials and
Metallurgy Department

Abstract

The compression strength of a ductile iron containing Cu, Ni, Mn and Mo has been investigated. The iron austemitized at two austenitizing and austempering temperatures and two austempering times in order to obtain wide range of bainitic morphology.

Those samples austempered at the similar temperature and time show an increase in compression strength at higher austenitizing temperature.

Prolonging the austempering time increases the compression strength whilst an increase in temperature decreases the compression strength.

مقدمه

خوبی را دارا هستند [۲، ۳، ۴، ۵، ۶].
ب - چدن های نشکنی که درجه حرارت های بالا آستمپر شده و دارای ساختار بینیت بالایی هستند. این نوع چدن ها دارای داکتیلیتی و چقرمگی زیادی بوده، استحکام خستگی و قابلیت ماشینکاری خوبی را دارا هستند [۲، ۳، ۴]. استحاله ایزووترمال تبدیل آستنیت به بینیت بالایی و پایینی به طور مفصل در مرجع ۷ توضیح داده شده است و تاکنون مطالعه ای در جهت بررسی استحکام فشاری این چدن ها صورت نپذیرفته است.

روش اجرای آزمایش

به منظور تحقق هدف پژوهش تمهیدات ذیل مدنظر قرار گرفت:

ترکیب شیمیایی

ترکیب شیمیایی آلیاژ چدن نشکن به صورت زیر انتخاب شد:

نام عنصر	%C	%Si	%Mn	%Ni	%Mo	%Cu	%Mg
درصد عنصر	۰/۳-۰/۲	۰/۲-۰/۲	۰/۵-۰/۴	۱/۲-۱/۱	۰/۳-۰/۲	۰/۸-۰/۷	۰/۰۵-۰/۰۴

عملیات حرارتی

بعد از ماشینکاری عملیات حرارتی به قرار زیر انجام گرفت:
- آستینیتی در دو دمای 950°C و 900°C به مدت ۲ ساعت در کوره موفقی و سپس انتقال سریع به کوره حمام نمک.
- آستمپر در کوره های حمام نمک با دمای 250°C و 350°C و نگهداری در این دو دما به مدت ۶۰ و ۱۲۰ دقیقه و سرد کردن در هوا.

آزمایش فشار و متالوگرافی

بعد از عملیات حرارتی نمونه ها، آزمایش فشار انجام گرفت و استحکام فشاری این نمونه ها مشخص گردید، همچنین به جهت مشخص شدن نوع ساختار از متالوگرافی به روش متعارف و همچنین عملیات رنگی شدن حرارتی استفاده شد [۷ و ۸].

با انجام عملیات حرارتی آستمپرینگ، آستنیت کم کربن تبدیل به آستنیت پرکربن ($1/8-2/1\%$) و فریت بینیتی می شود.

این ساختار به آسفیریت معروف است و به جهت پیوسنگی آستنیت با شبکه FCC دارای داکتیلیتی و چقرمگی خوبی است. همچنین به علت پراکندگی ظریف و یکنواخت فریت در آستنیت دارای استحکام بالایی می باشد [۱ و ۲].

در صورت نگهداری در زمان های طولانی تر آستمپرینگ، ساختار حاوی فریت بینیت و آستنیت پرکربن تبدیل به فریت و کاربید می گردد که عموماً این ساختار مطلوب نمی باشد. به طور کلی چدن های نشکن آستمپر به دو دسته عمده تقسیم می شوند:

الف - چدن های نشکنی که در درجه حرارت های پایین آستمپر شده و دارای ساختار بینیت پایینی هستند.
این نوع چدن ها دارای داکتیلیتی و چقرمگی زیادی بوده، استحکام خستگی و قابلیت ماشینکاری

برای حصول به این ترکیب شیمیایی از شمش چدن سورل، قراضه فولادی، فروسیلیکومنیزیم، فرومولیبدن ۷۵ درصد، فرمونگنز ۷۵ درصد، فروسیلیسیم ۷۰ درصد، مس و نیکل با درجه خلوص بالا استفاده شد. همچنین عملیات ذوب در کوره زمینی با بوته گرافیتی انجام شد. عملیات تلقیح نیز با افزودن ۷٪ درصد فروسیلیسیم ۷۵ درصد در بوته حاوی مذاب با دمای تقریبی 1450°C انجام شد و ذوب پس از سرباره گیری در دمای 1420°C و 1400°C با سیستم ریخته گری از کف و با در نظر گرفتن تکویری سرعت بحرانی ریخته گری شد.

ابعاد نمونه های آزمایش

پس از ریخته گری قطعات y-block استاندارد ۲۵ میلیمتر ضخامت)، قطعات نمونه های فشاری با نسبت $\text{Lo} = 25 \text{ mm}$ و $\text{Do} = 13 \text{ mm}$ و به ابعاد $\text{Lo}/\text{Do} \approx 2$ تولید شدند.

یافته های آزمایش نتایج آزمایش فشار

شدن زمینه می گردد و نیز افزایش آستنیت استحاله باقیمانده را به همراه دارد. البته به دلیل اینکه در تصاویر سیاه و سفید تشخیص آستنیت باقیمانده پرکرbin، آستنیت استحاله یافته و آستنیت کم کربن کار دشواری است، لذا از روش رنگی شدن حرارتی، جهت تمیز فازها استفاده می شود. تصاویر ۱۴ الی ۲۱ ساختار چدن های نشکن آستمپر شده را بعد از این عملیات نشان می دهد. همانطور که مشخص است فاز آستنیت باقیمانده واکنش نکرده، معمولاً بین مرzedane ها و بر اثر جدایش ظاهر می شود. این آستنیت در حین سرد شدن تا دمای محیط به علت کربن کمی که دارد می تواند به مارتنتزیت تبدیل گردد و یا در اثر تنفس های اعمالی نظیر ماشینکاری می تواند به مارتنتزیت تبدیل شود. این فاز (آستنیت باقیمانده واکنش نکرده) به رنگ آبی روشن در تصاویر میکروسکوپی و بخصوص در نمونه هایی که در درجات آستمپرینگ بالا حرارت داده شده اند، مشخص است. تیغه های مارتنتزیتی که به رنگ آبی تیره ظاهر می گردد، همگی در همین نواحی قابل رویت هستند. تیغه های فریت بینیتی حاصل شده از واکنش مرحله اول آستمپرینگ به رنگ زرد می باشند و در صورتی که دمای آستمپرینگ پایین باشد، افزایش مقدار کربن در فاز فریت سبب تغییر رنگ از زرد روشن به زرد تیره می گردد. این تیغه های فریتی به وسیله آستنیت پرکرbin که نتیجه دیفوژیون کربن از فریت بینیتی به سمت آستنیت کم کربن است، احاطه شده اند و این آستنیت پرکرbin به رنگ بنفش در اطراف فریت بینیتی زرد رنگ دیده می شود.

بحث

دو عنصر آلیاژی اصلی در پژوهش حاضر عبارتند از نیکل به میزان $1/2 - 1/1$ ٪ و مس به میزان $8/0$ ٪. علت انتخاب این دو عنصر این است که مطابق تحقیقات صورت پذیرفته از سوی محققین [۹، ۱۰، ۱۱] جدایش این دو عنصر در اطراف کره های گرافیت بوده و تأثیر منفی بر خواص مکانیکی و سطحی ندارند. بررسی ساختار میکروسکوپی نشان می دهد که ساختار نمونه ریختگی بعد از عملیات آستمپرینگ به آسفریت تبدیل می گردد که شامل تیغه های فریتی به اضافه ورقه هایی از آستنیت پرکرbin است. افزایش دمای آستنیت سبب خشن و درشت شدن

در تصویر ۱ نتایج آزمایش فشار نمونه های چدن نشکن خام و آستمپر شده ارائه گردیده است. نمایان است که با اعمال عملیات آستمپرینگ استحکام فشاری از 1286 Mpa افزایش چشمگیری داشته و به بالاتر از 1657 Mpa رسیده است که با تغییر پارامترهای مؤثر بر عملیات آستمپرینگ، این استحکام تا حد 2181 Mpa نیز افزایش داشته است. بیشترین میزان استحکام فشاری مربوط به نمونه ای است که در درجه حرارت 50°C آستنیتی و در دمای 250°C به مدت 120 دقیقه نگهداری شده است.

ویژگی های نمونه ریخته گری و متالوگرافی نمونه ها

نمونه ریختگی دارای زمینه ای پرلیتی به همراه دانه های فریت در اطراف کره های گرافیتی است که این ساختار به چدن نشکن چشم گاوی موسوم است. تعداد کره های گرافیت در حدود 100 تا 125 در میلیمتر مربع و درصد کروی شدن بیش از 95% می باشد. تصاویر ۲ الی ۵ مربوط به نمونه های چدن نشکن پیش از عملیات حرارتی هستند. همچنین در تصاویر ۶ الی ۱۳ میکروسکوپی نمونه های چدن نشکن آستمپر شده نشان داده شده است.

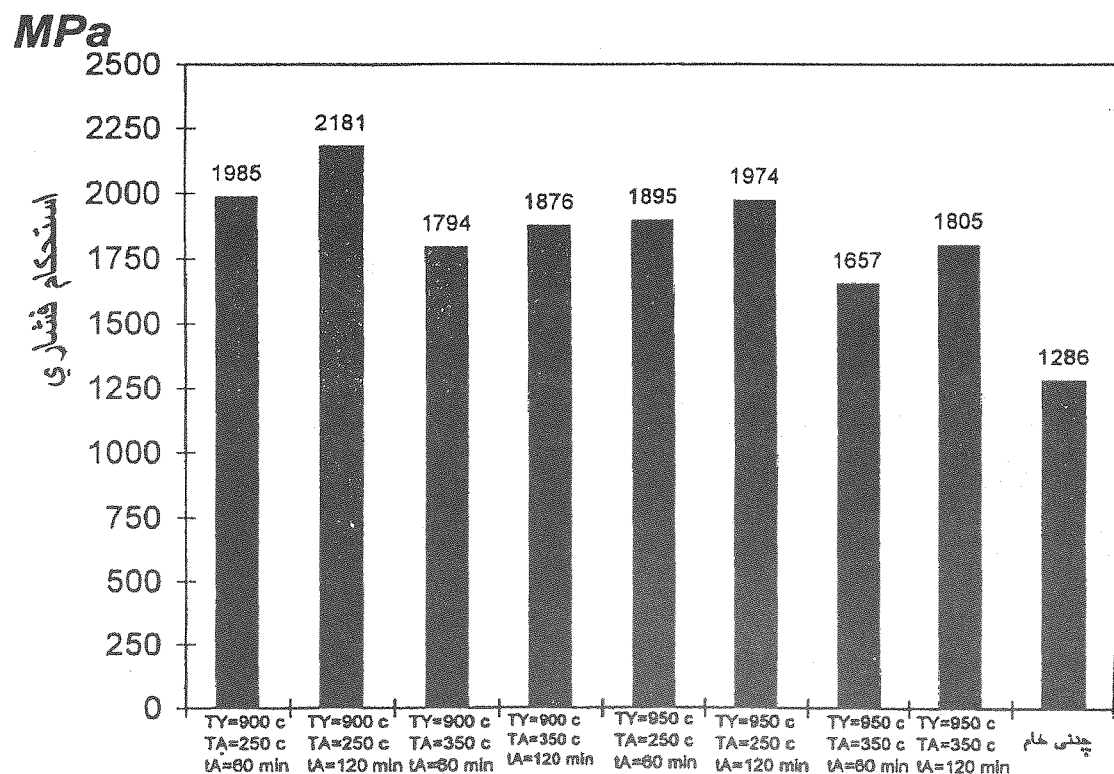
همانگونه که مشاهده می شود با تغییر درجه حرارت آستمپرینگ از 350°C به 250°C تغییراتی در ساختار بوجود می آید و ساختار از حالت سوزنی، باریک و طویل تبدیل به حالت ورقه ای، ضخیم و کوتاه می گردد. هر چه درجه حرارت آستمپرینگ بالاتر باشد، این ورقه ها ضخیم تر خواهند بود. همچنین به دلیل اینکه استحاله بینیتی یک استحاله ایزوترمال است، لذا وابسته به زمان نگهداری در دمای استحاله می باشد. در صورتی که زمان نگهداری کم باشد، واکنش $\alpha + \gamma_{hc} \rightarrow \gamma$ کامل نگردیده و آستنیت کم کربن هنوز موجود است. لذا هنگام سرد شدن ثا محيط این آستنیت کم کربن تبدیل به مارتنتزیت می گردد و نیز در صورتی که زمان بسیار بالا انتخاب گردد، در این حالت آستنیت پرکرbin تبدیل به فریت و کاربید می شود. همانطور که از تصاویر مشخص است با اضافه شدن زمان از 60 دقیقه به 120 دقیقه تیغه های فریتی رشد کرده و کمی ضخیم تر شده اند و تراکم تیغه ای فریتی بیشتر شده است. استفاده از درجه حرارت آستنیتی بالا سبب درشت شدن و خشن

استحکام فشاری با افزایش دمای آستمپر کاهش می‌یابد که این موضوع در ارتباط با تغییرات مورفولوژی بینیت از فریت سوزنی و آستنیت ورقه‌ای میان آنها به فریت تیغه‌ای و آستنیت درشت و بلوكی شکل و همچنین افزایش آستنیت باقی مانده است.

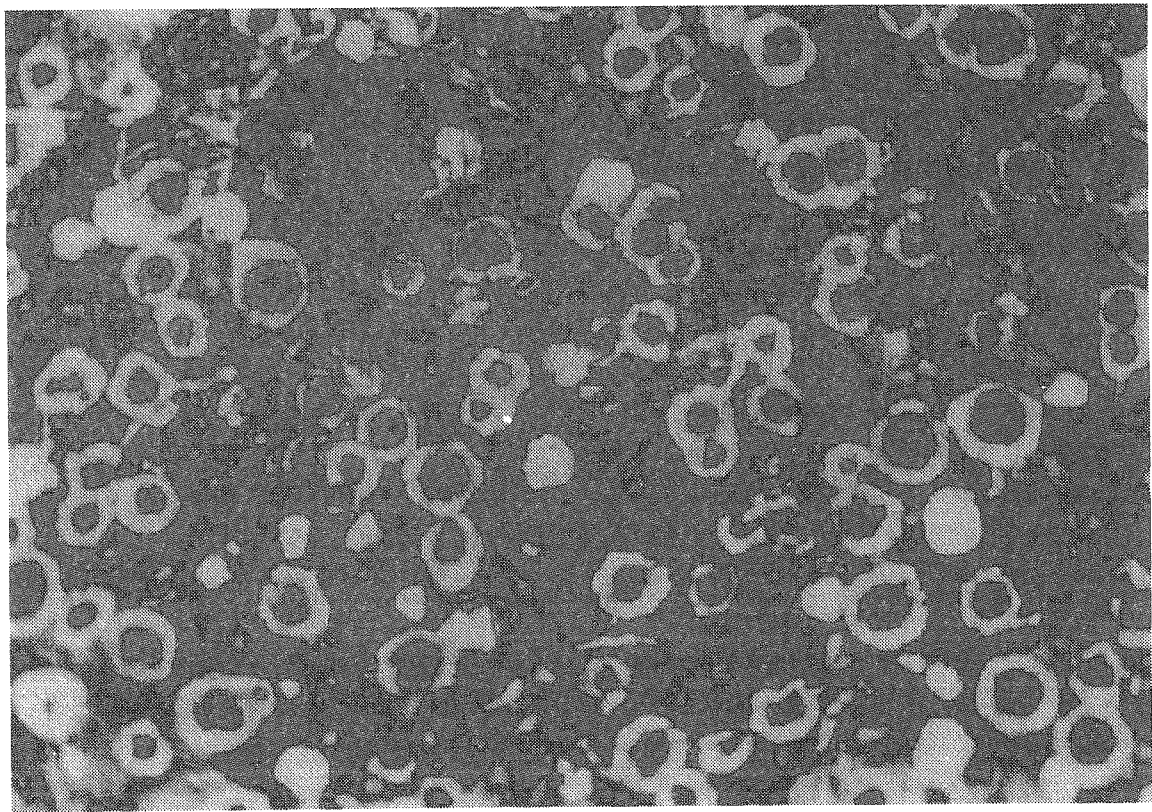
به لحاظ آنکه واکنش آستمپرینگ یک استحاله ایزوترمال است، لذا وابسته به زمان است. یعنی با تغییر زمان، درصد پیشرفت استحاله تغییر پیدا می‌کند. در صورتی که زمان نگهداری کم باشد، استحاله کامل نشده و کربن کمتری از سوی تیغه‌های فریتی رانده می‌شود. لذا آستنیت اطراف فریت به علت کربن کمتر دارای M_6 (درجه حرارت شروع تحول مارتنتزیت) بالاتر از محیط بوده و هنگام سرد شدن تبدیل به مارتنتزیت می‌گردد. و نیز تعداد تیغه‌های فریتی که جوانه زده و رشد کرده‌اند، نیز کمتر شده‌اند. لذا با افزایش زمان نگهداری اولاً تعداد تیغه‌های فریتی بیشتر شده و همچنین کربن آستنیت اطراف فریت افزایش یافته است. این موضوع با تحقیقات محققین دیگر [۱۶، ۹، ۱۰، ۱۳، ۱] همخوانی دارد. استحکام فشاری با گذشت زمان افزایش می‌یابد چون با گذشت زمان میزان رشد و تکمیل تیغه‌های فریتی بیشتر شده و نیز کاربید بینیتی $(Fe_{2,4})$ تشکیل می‌گردد.

ساختار می‌شود و بر میزان آستنیت باقی مانده افزوده می‌شود. این موضوع با تحقیقات Sikora, Young, Grech و همکارانش [۱۳ و ۱۰] مطابقت دارد. همچنین استحکام فشاری کاهش پیدا کرده است. این بدان دلیل است که با افزایش دمای آستنیت، کربن بیشتری در آستنیت حل شده و باعث کاهش نیروی محرکه انجام واکنش آستمپرینگ می‌شود. لذا در زمان‌های مشابه کربن کمتری نفوذ کرده و آستنیت کم کربن به فریت بینیتی و آستنیت پرکربن کمتر تبدیل می‌گردد. بنابراین کاهش فریت بینیتی که نقش استحکام دهنده به این آلیاژ را دارد، کمتر شده و استحکام کاهش یافته است.

انتخاب دو دمای آستمپر مطالعه گستره تشکیل بینیت پایینی و گستره تشکیل بینیت بالایی را ممکن می‌سازد. در صورتی که دمای آستمپرینگ پایین باشد، فوق تبرید بیشتر و دیفوژیون کمتر خواهد بود. لذا جوانه زنی تیغه‌های فریت بیشتر از رشد جانبی آنهاست. بنابراین تیغه‌ها به صورت سوزنی و طویل خواهند بود که با تحقیقات محققین دیگر [۴، ۹، ۱۰، ۱۴، ۱۵] مطابقت دارد. در صورتی که دمای آستمپر بالاتر انتخاب گردد، در این حالت فوق تبرید کمتر بوده و دیفوژیون بیشتر است. لذا رشد تیغه‌های فریت بینیتی بیشتر از جوانه زنی آنهاست. بنابراین تیغه‌ها به صورت ضخیم، کوتاه و ورقه‌ای تشکیل می‌گردند. همچنین



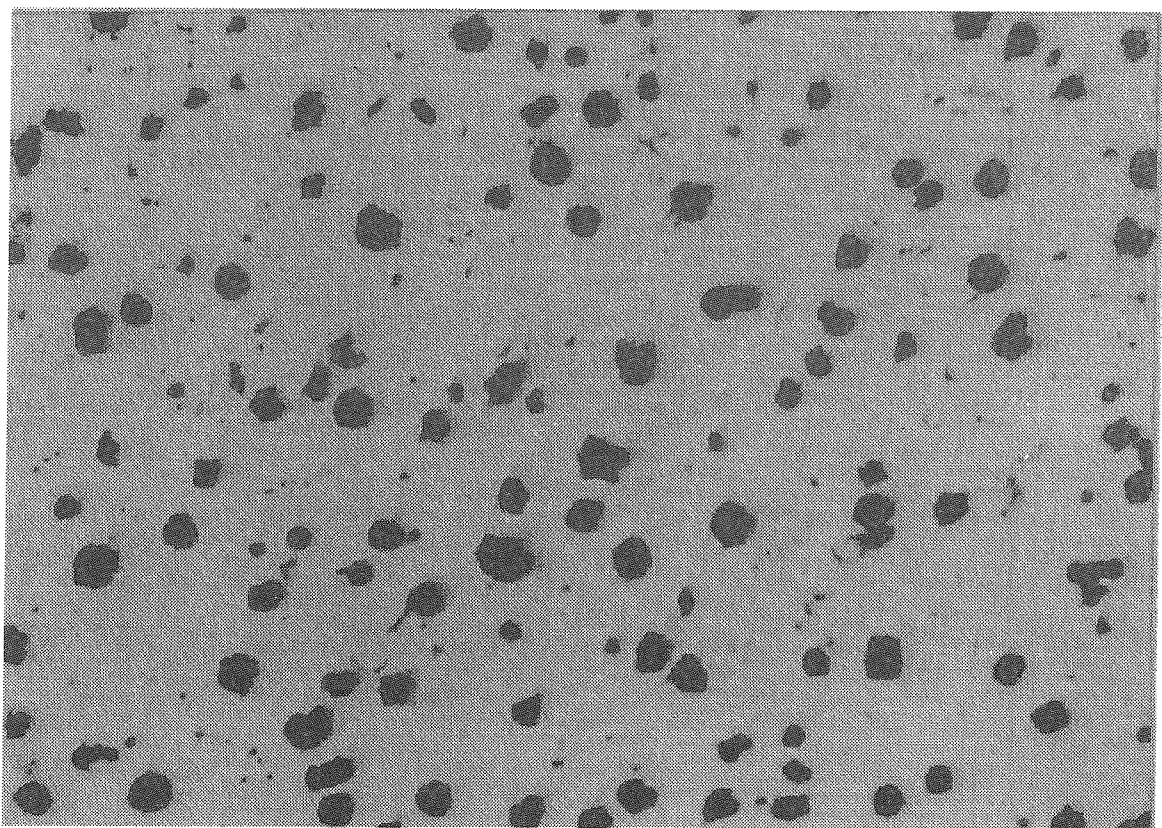
شکل (۱) استحکام فشاری قطعات چدن نشگن و چدن نشگن آستمپر شده.



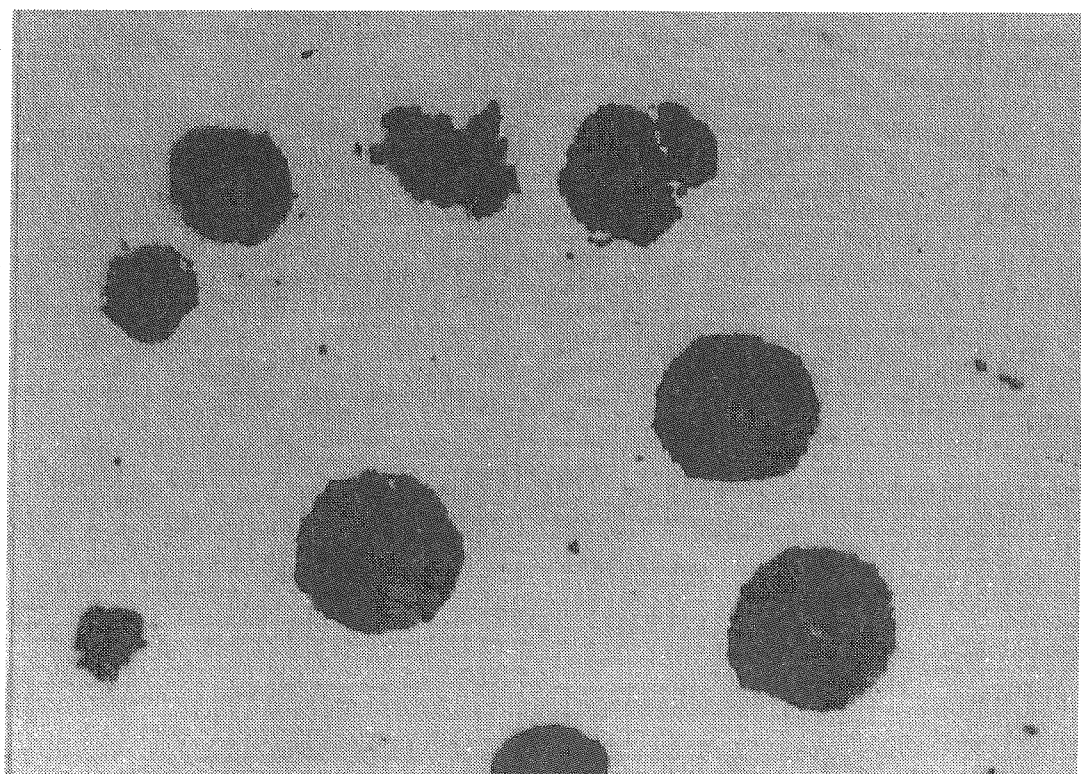
شکل (۲) نمونه چدن نشکن ریختگی، محلول اج نیتال ۲٪. X100.



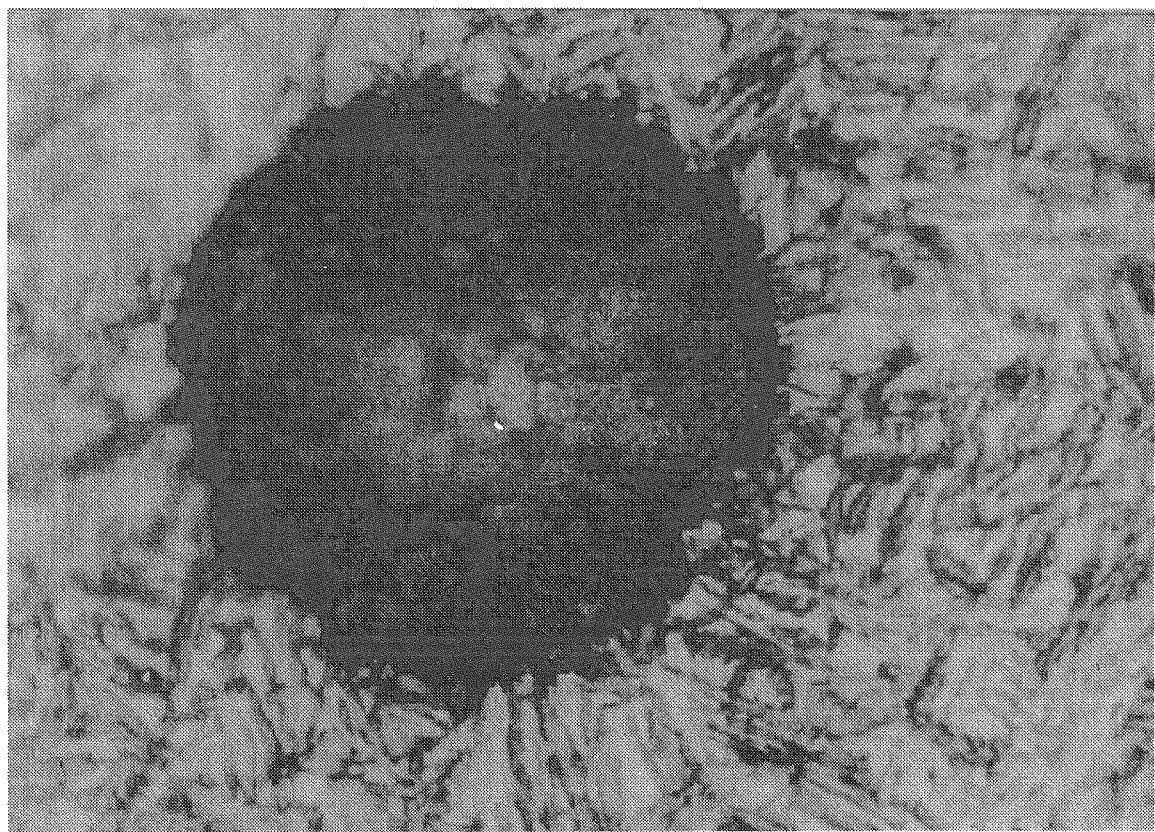
شکل (۳) نمونه چدن نشکن ریختگی، محلول اج نیتال ۲٪. X1000٪.



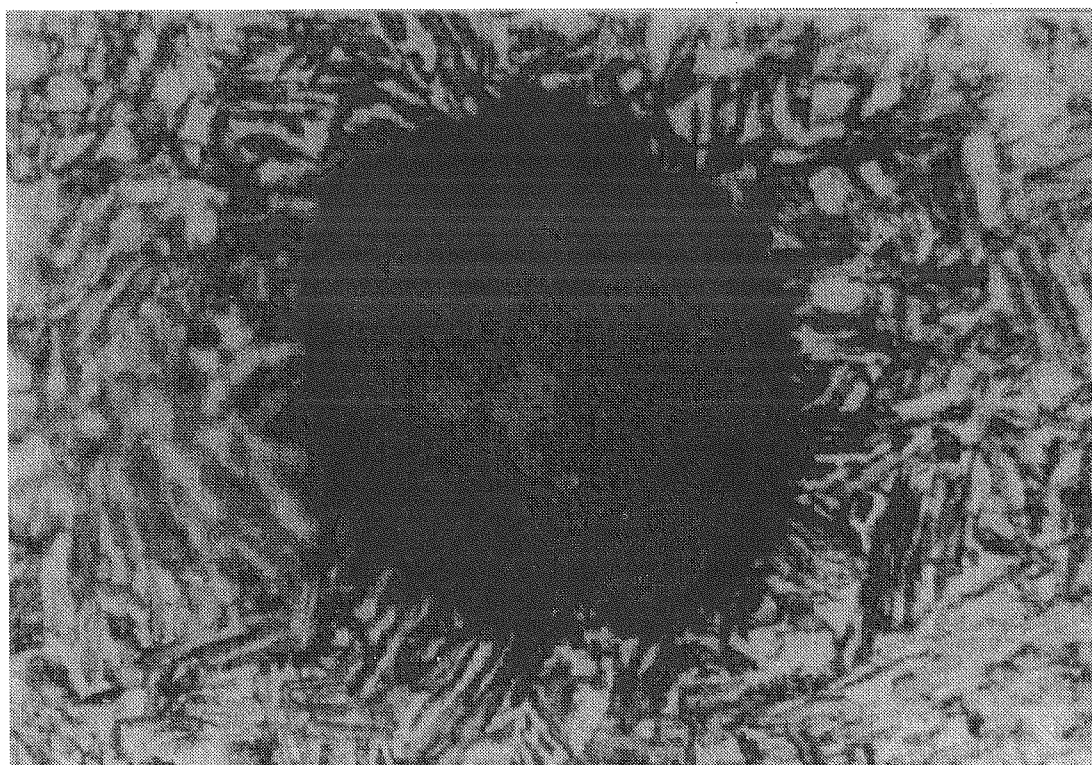
شکل (۴) نمونه چدن نشکن ریختگی، اج نشده $\times 100$.



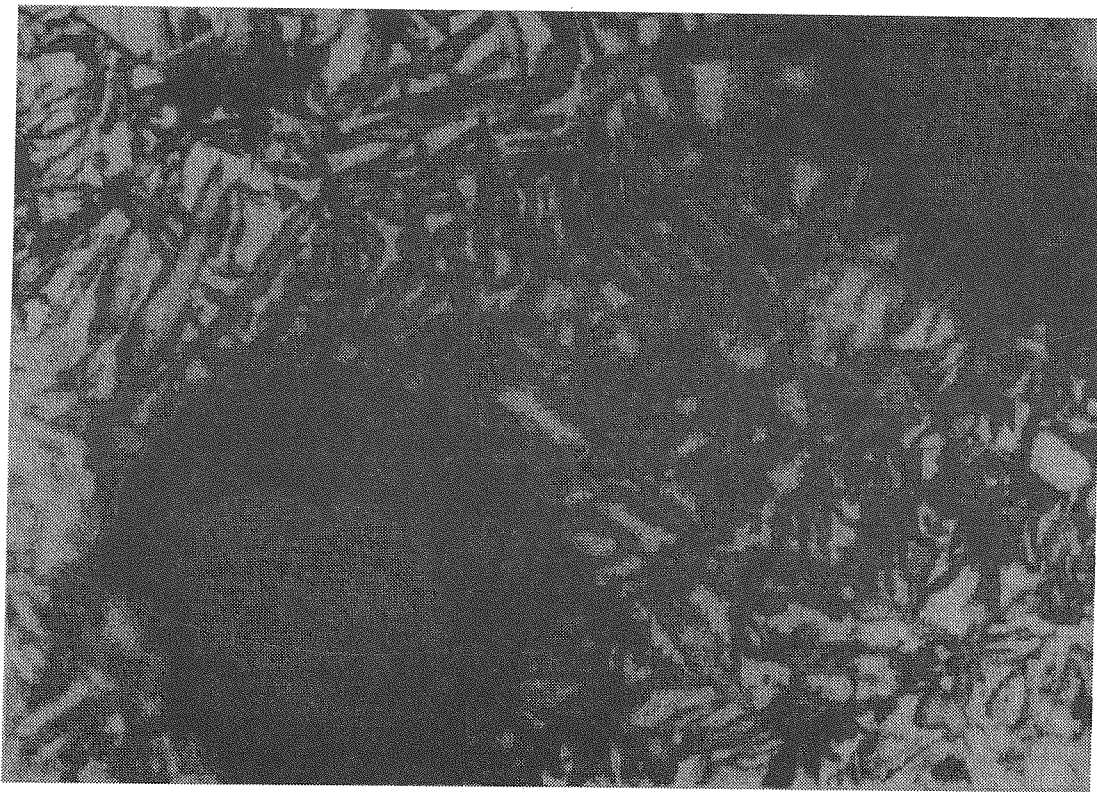
شکل (۵) نمونه چدن نشکن ریختگی، اج نشده $\times 400$.



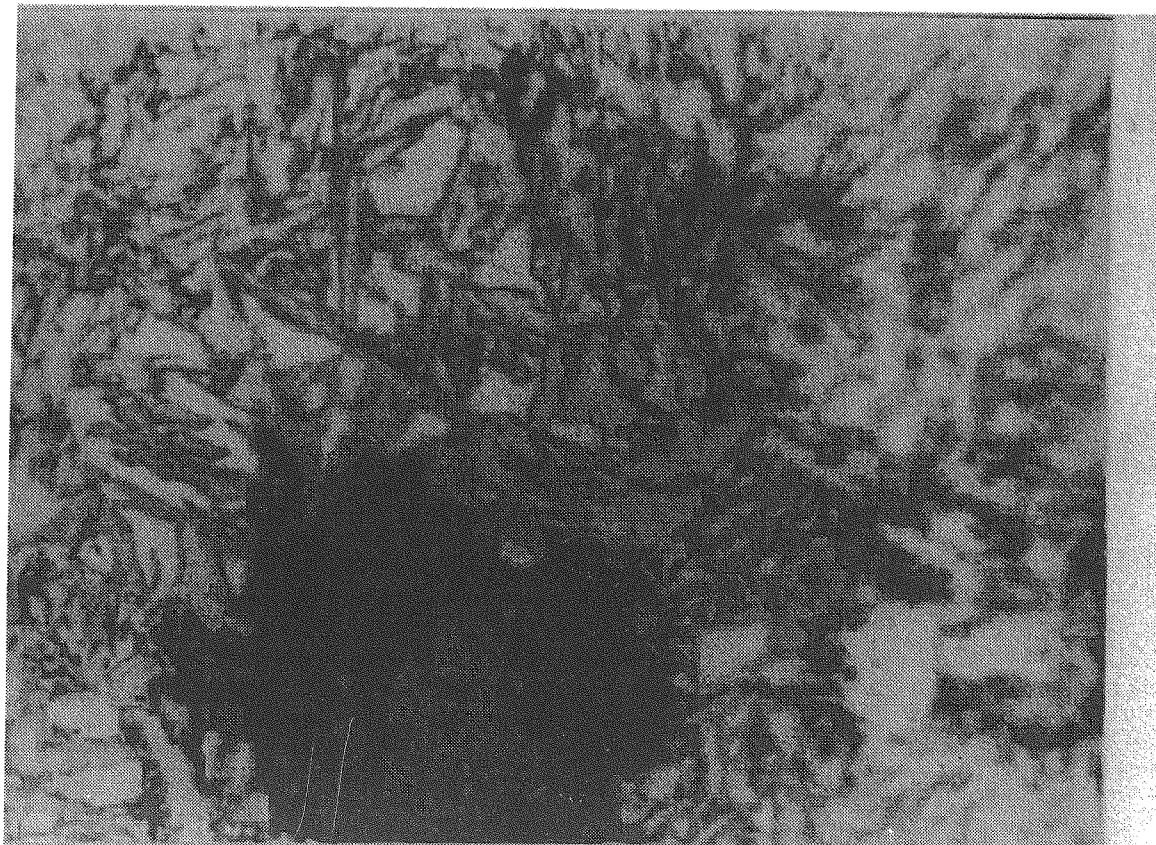
شکل (۶) ساختار میکروسکوپی نمونه چدن نشکن آستمیر ، محلول اج نیتال ۲٪ .X1000
($T\gamma = 900^{\circ}\text{C}$ $\text{TA} = 250^{\circ}\text{C}$ $t\text{A} = 60\text{min}$)



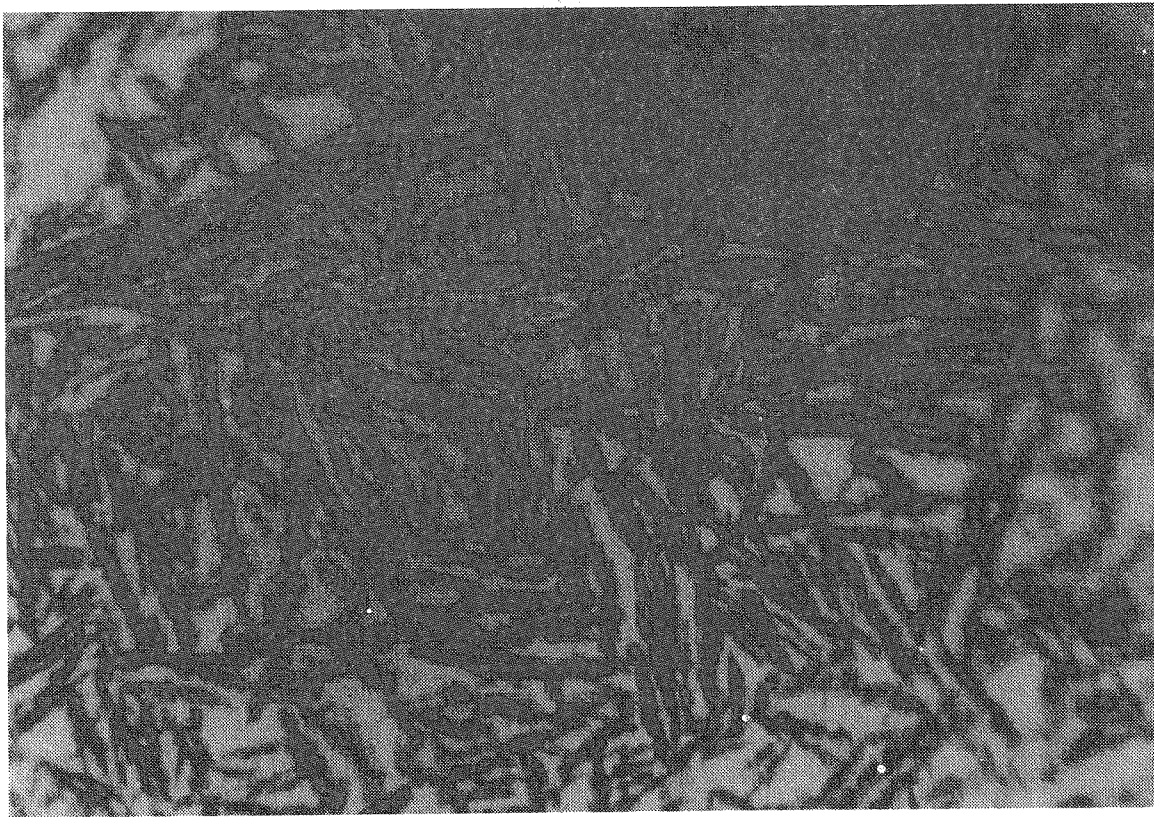
شکل (۷) ساختار میکروسکوپی نمونه چدن نشکن آستمیر ، محلول اج نیتال ۲٪ .X1000
($T\gamma = 900^{\circ}\text{C}$ $\text{TA} = 250^{\circ}\text{C}$ $t\text{A} = 120\text{min}$)
امیرگیبر / سال دهه / شماره ۳۹



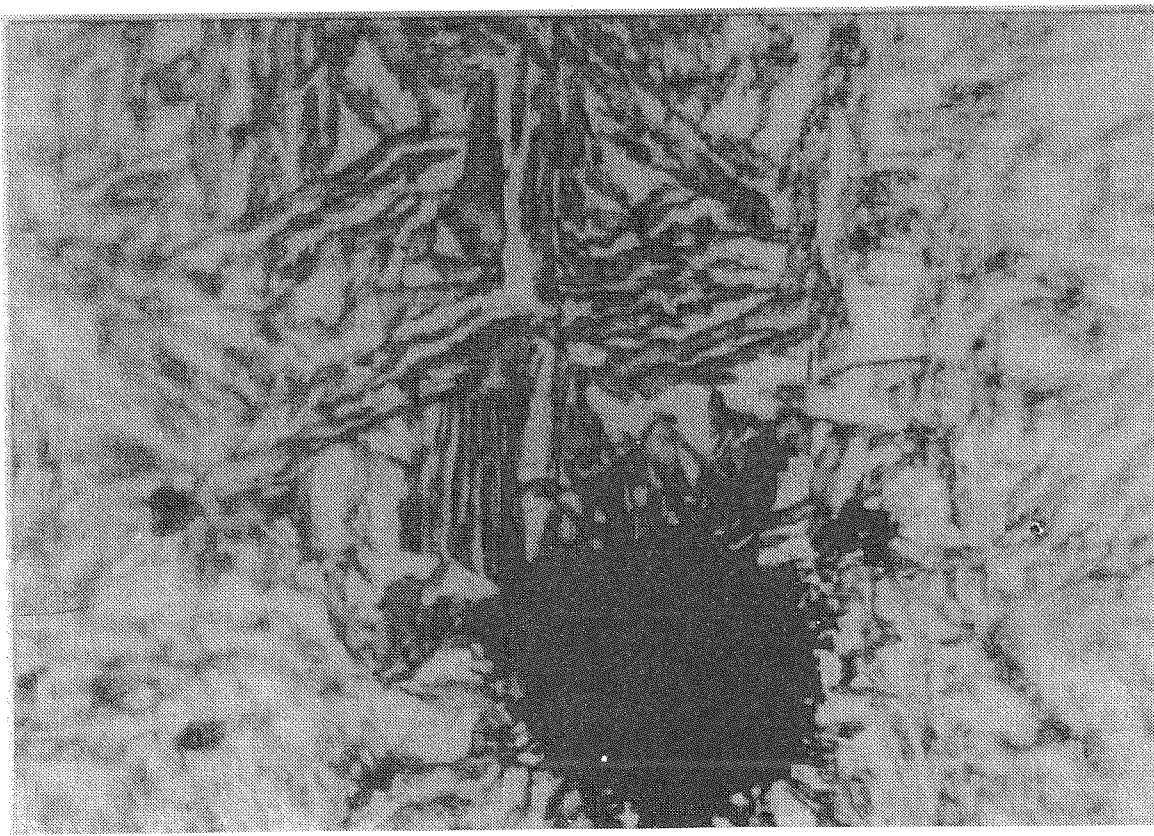
شکل (۸) ساختار میکروسکوپی نمونه چدن نشکن آستمپر، محلول اج نیتال ۲٪.
 $X1000$
($T\gamma = 900^{\circ}\text{C}$ $TA = 350^{\circ}\text{C}$ $tA = 120\text{min}$)



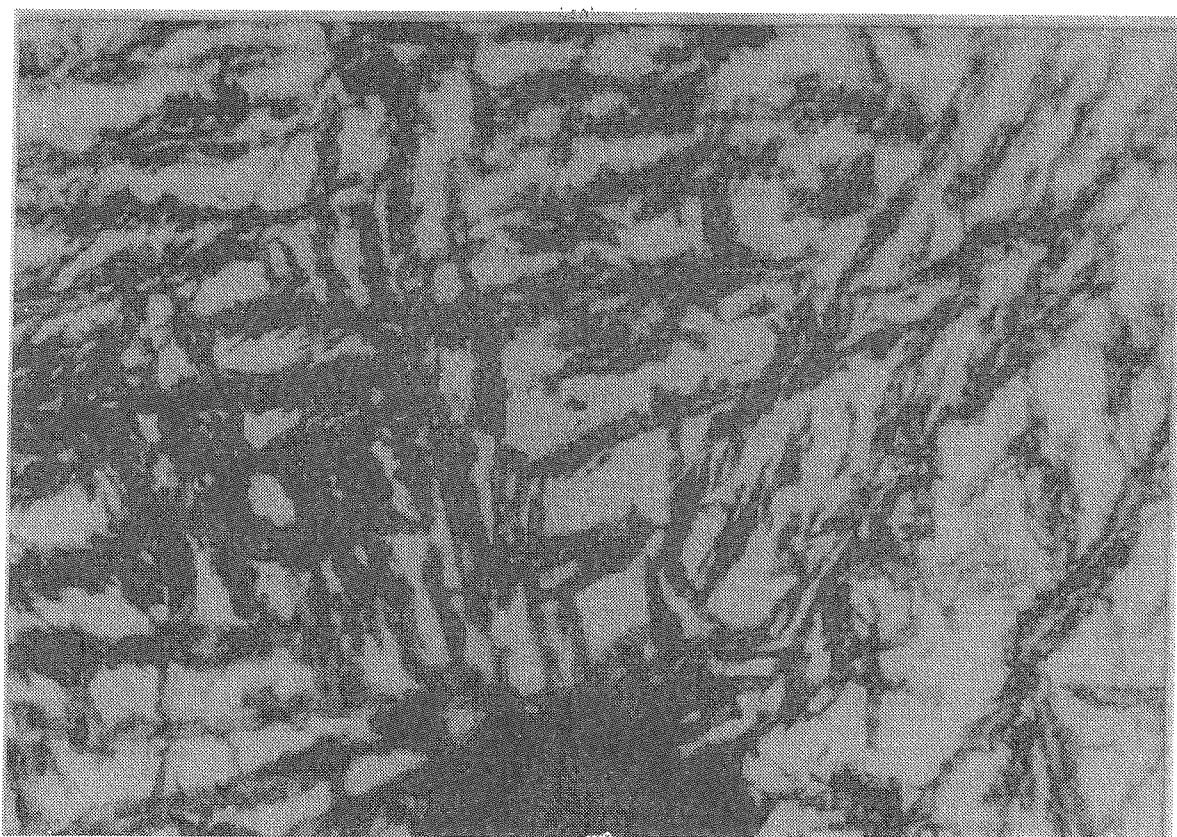
شکل (۹) ساختار میکروسکوپی نمونه چدن نشکن آستمپر، محلول اج نیتال ۲٪.
 $X1000$
($T\gamma = 900^{\circ}\text{C}$ $TA = 350^{\circ}\text{C}$ $tA = 120\text{min}$)



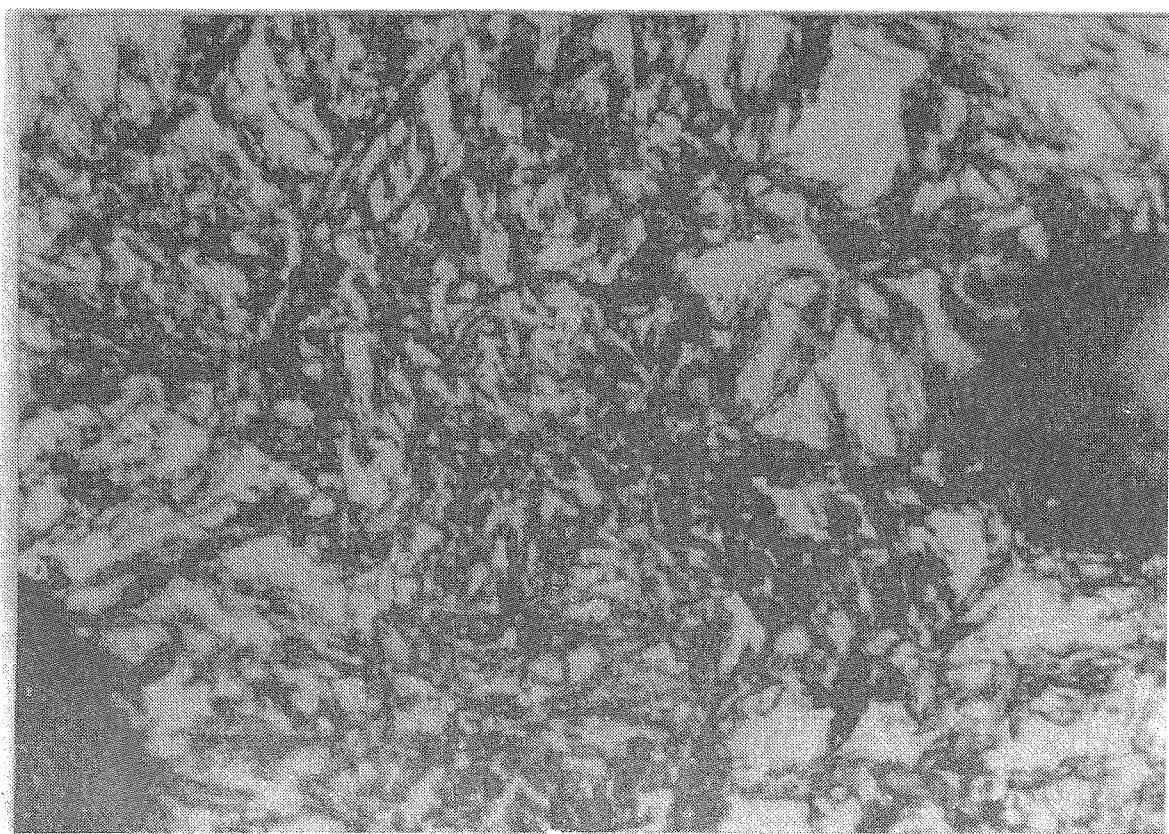
شکل (۱۰) ساختار میکروسکوپی نمونه چدن نشکن آستمپر ، محلول اج نیتال ۲٪ .X1000
($T\gamma = 950^{\circ}\text{C}$ $TA = 250^{\circ}\text{C}$ $tA = 60\text{min}$)



شکل (۱۱) ساختار میکروسکوپی نمونه چدن نشکن آستمپر ، محلول اج نیتال ۲٪ .X1000
امیرکبیر / سال دهم / شماره ۳۹ ($T\gamma = 950^{\circ}\text{C}$ $TA = 250^{\circ}\text{C}$ $tA = 120\text{min}$)



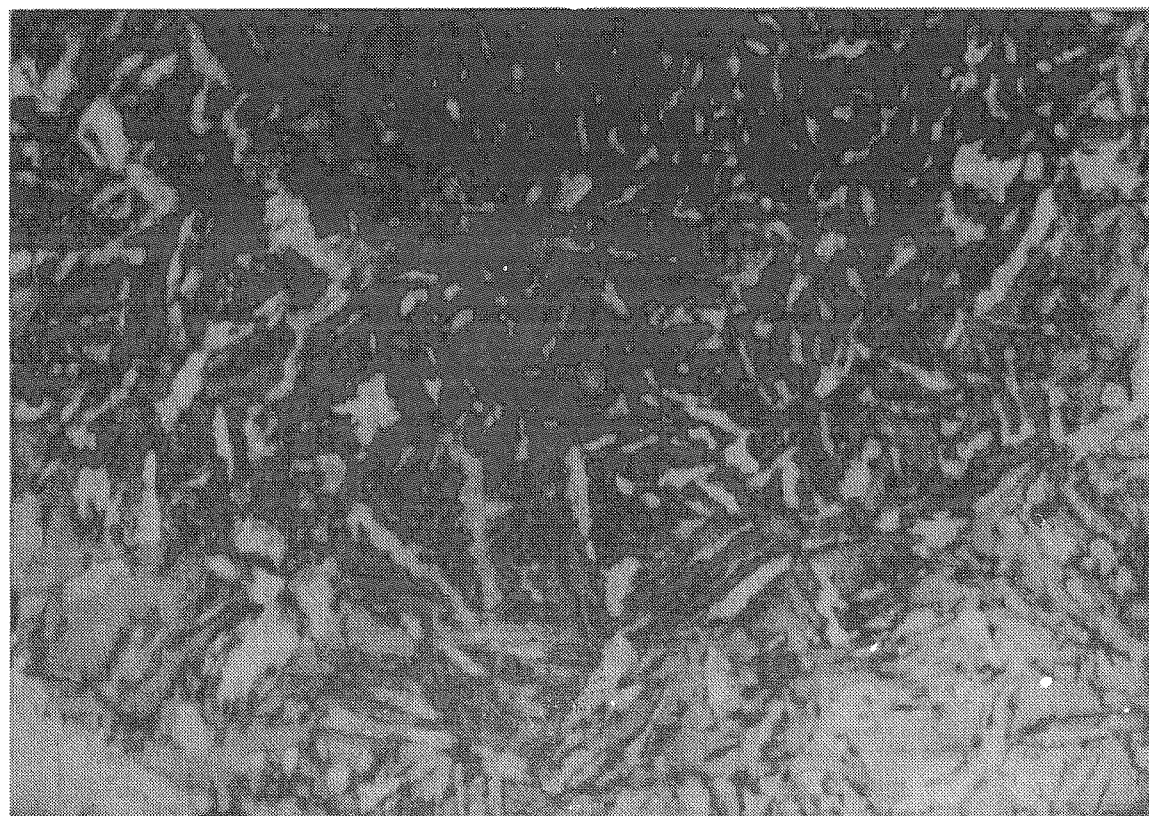
شکل (۱۲) ساختار میکروسکوپی نمونه چدن نشکن آستمپر، محلول اج نیتال ۲٪ .X1000
($T\gamma = 950^{\circ}\text{C}$ $TA = 350^{\circ}\text{C}$ $tA = 60\text{min}$)



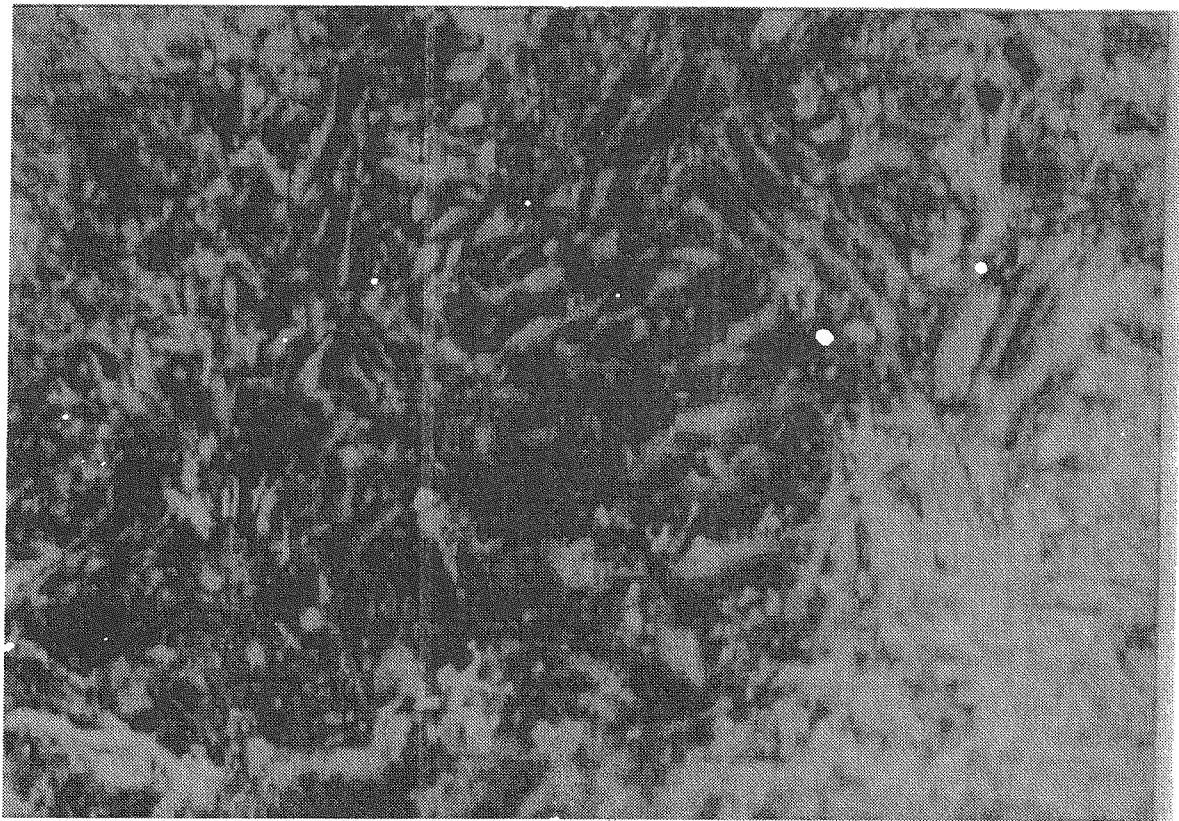
شکل (۱۳) ساختار میکروسکوپی نمونه چدن نشکن آستمپر، محلول اج نیتال ۲٪ .X1000
($T\gamma = 950^{\circ}\text{C}$ $TA = 350^{\circ}\text{C}$ $tA = 120\text{min}$) ۳۹
امیرکبیر / سال ده هشتم / شماره ۵



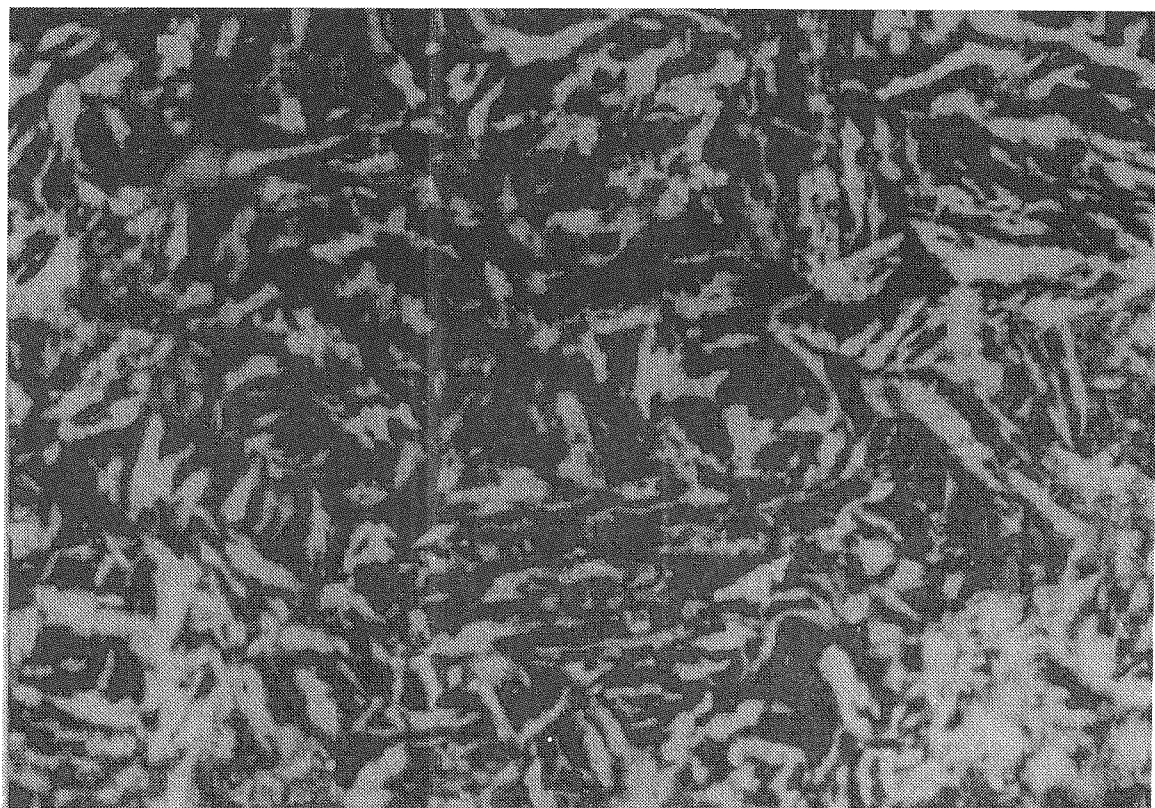
شکل (۱۲) تصویر میکروسکوپی ریختگی چدن نشکن آستمپر $\times 1000$
 $(T\gamma = 900^{\circ}\text{C} \quad TA = 250^{\circ}\text{C} \quad tA = 60\text{min})$



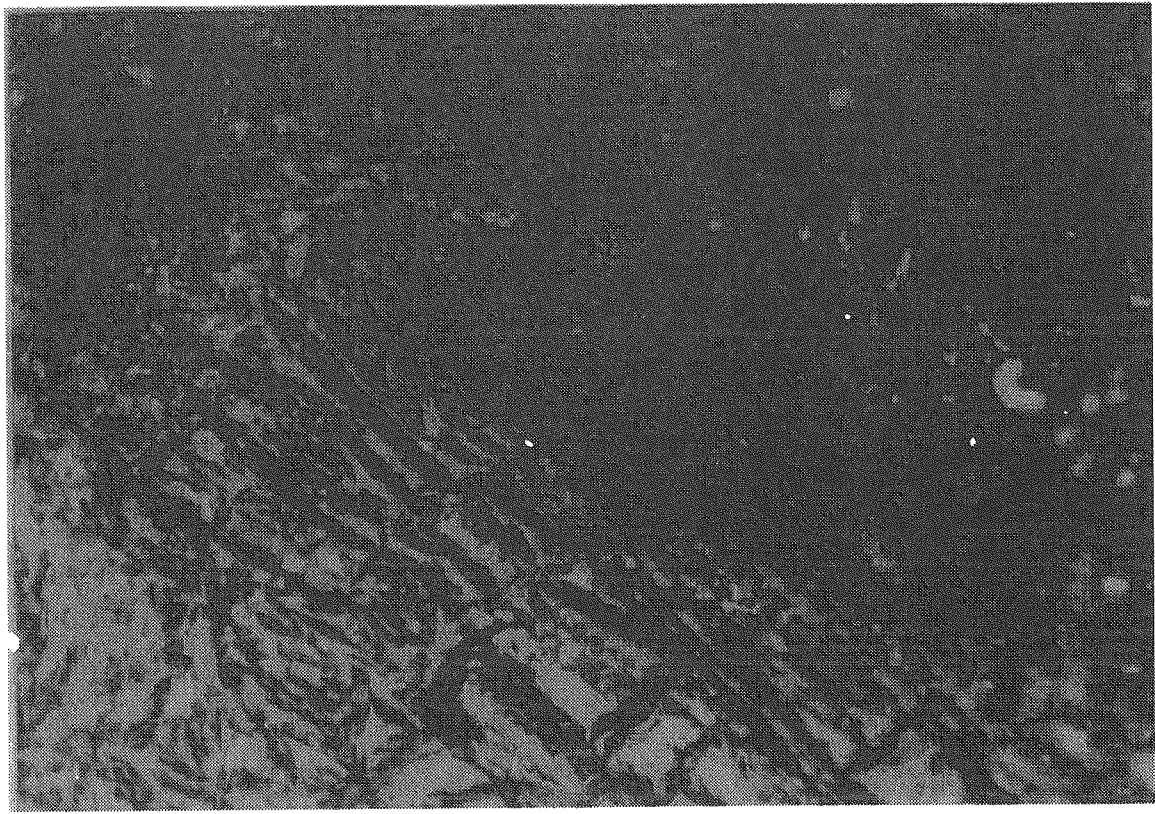
شکل (۱۵) تصویر میکروسکوپی ریختگی چدن نشکن آستمپر $\times 1000$
امیرکبیر / سال دهم / شماره ۳۹ $(T\gamma = 900^{\circ}\text{C} \quad TA = 250^{\circ}\text{C} \quad tA = 120\text{min})$



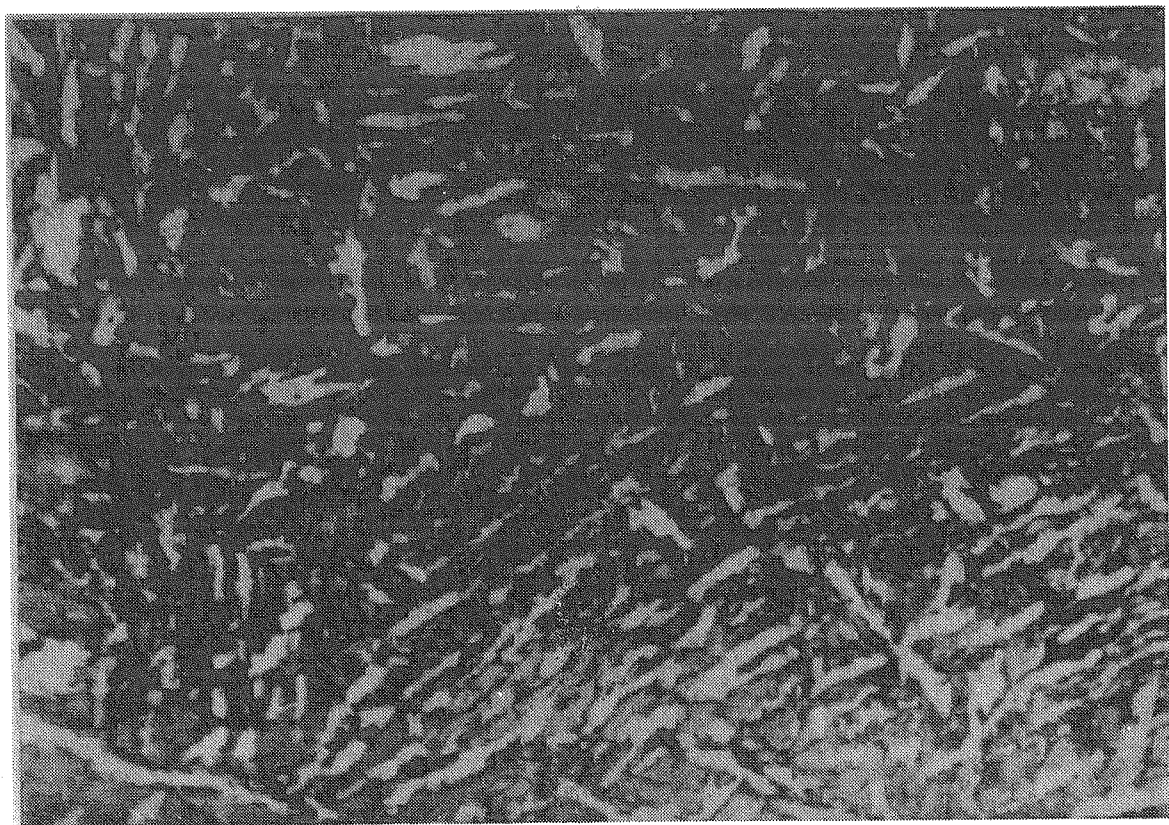
شکل (۱۶) تصویر میکروسکوپی ریختگی چدن نشکن آستمپر X1000
($T\gamma = 900^\circ\text{C}$ $TA = 350^\circ\text{C}$ $tA = 60\text{min}$)



شکل (۱۷) تصویر میکروسکوپی ریختگی چدن نشکن آستمپر X1000
($T\gamma = 900^\circ\text{C}$ $TA = 350^\circ\text{C}$ $tA = 120\text{min}$) ۳۹ امیرکبیر / سال ۱۳۹۵ / شماره



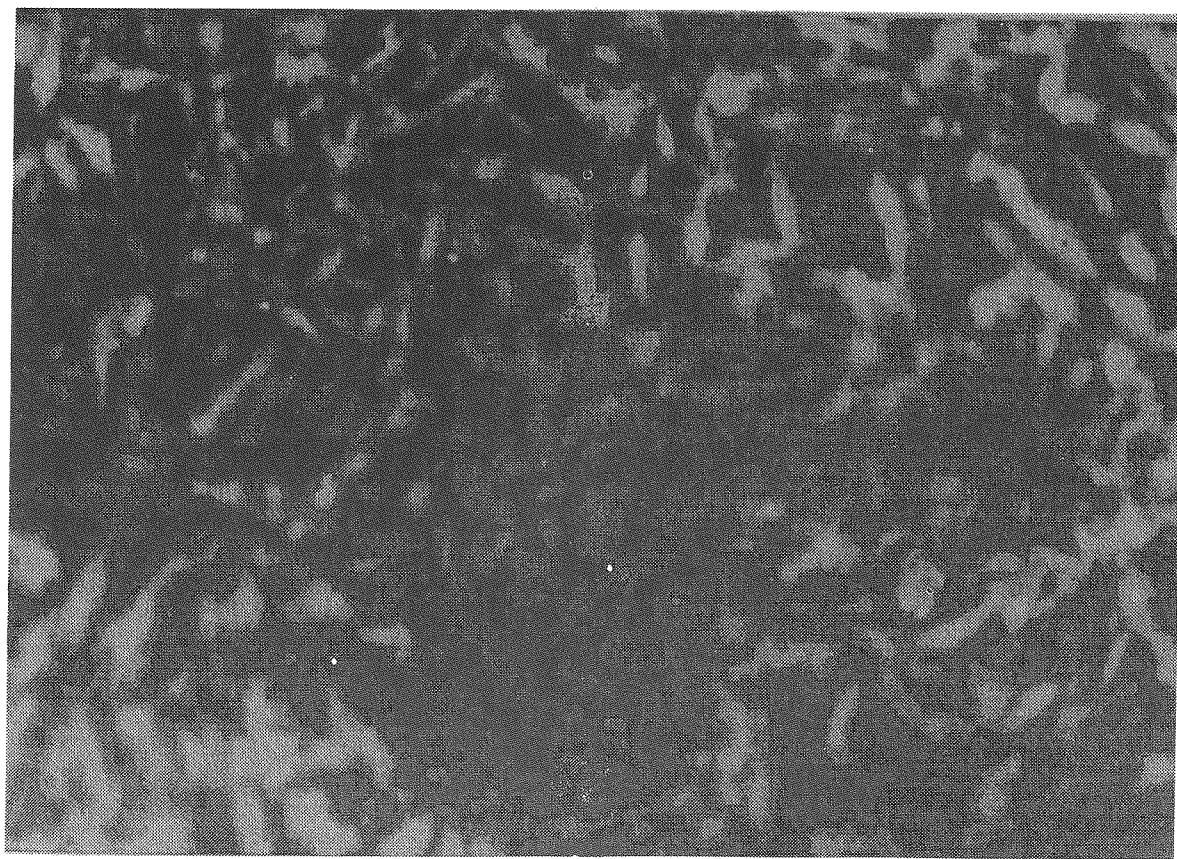
شکل (۱۸) تصویر میکروسکوپی ریختگی چدن نشکن آستمپر X1000.
($T\gamma = 950^{\circ}\text{C}$ $\text{TA} = 250^{\circ}\text{C}$ $t\text{A} = 60\text{min}$)



شکل (۱۹) تصویر میکروسکوپی ریختگی چدن نشکن آستمپر X1000
امیرکبیر / سال دهه / شماره ۳۹ ($T\gamma = 950^{\circ}\text{C}$ $\text{TA} = 250^{\circ}\text{C}$ $t\text{A} = 120\text{min}$)



شکل (۲۰) تصویر میکروسکوپی ریختگی چدن نشکن آستمپر X1000.
($T\gamma = 950^\circ\text{C}$ $\text{TA} = 350^\circ\text{C}$ $t\text{A} = 60\text{min}$)



شکل (۲۱) تصویر میکروسکوپی ریختگی چدن نشکن آستمپر X1000
($T\gamma = 950^\circ\text{C}$ $\text{TA} = 350^\circ\text{C}$ $t\text{A} = 120\text{min}$) ۳۹ امیرگیور / سال دهم / شماره

مراجع

- [1] K.B. Rundman "ADI. Striving for Improvements " World conference on ADI /1991 Chicago, USA.
- [2] R.A. Harding "Control of Retained Austenite Content of ADI" World Conference on ADI 1991/chicago/USA.
- [3] اصول و کاربرد عملیات حرارتی فولادها و چدنها، دکتر محمدعلی گلزار، دکتر محمدعلی گلزار.
- [4] F.S. Ross, B. K. Gupta "Experience of FIAT and Holcroft with Austempring of Nodular Cast Iron Automobile Components" FIATs. P. A, Torino, ITALY.
- [5] K.L. Hayrynen, c. T Snow, D. J. Moore. K. B. Roundman" Micro Structure and Tensile Properties, of Low Alloy Small Section Size Casting", World conference on ADI, 1991 Chicago, USA.
- [6] Okagaki, Asui, Tokuyoshi, Kustunok. Application of ADI to Automotive, Automoti Parts", World conferece on ADI, 1991 Chicago, USA.
- [7] محمد ضرابیان، پایان نامه کارشناسی ارشد، مقایسه خواص مکانیکی و سطحی فولاد فورج کربوره و تمپر شده با چدن نشکن آستمپر شده آذر (ADL) ۱۳۷۵.
- [8] محمد ضرابیان ، سید محمد علی بوترابی «تحقيق در رفتار سایشی چدن های نشکن آستمپر و فولادهای فورج کربوره و تمپر شده» نهمین سمینار سالانه
- جامعه ریخته گران ایران، علم و صنعت ایران ۱۳۷۶
- [9] R. Viau, M. Gagne, R. Thibau "Cu - Ni Alloyed Austempered Ductile Irons" AFS Transactions, 87-77.
- [10] M. Grech, J. M. Young, "Impact Properties of a Cu-Ni Austempered Ductile Iron" Cast Metals Vol. 1 No. 2, PP. 98-103, 1988.
- [11] F. Defoirdt, "Research, Development and Industrial Application of ADI at Ferromatrix Foundries" World conference on ADI, 1991 Chicago, USA.
- [12] Kovacs, "The Effect of Alloying Elements and Their segregation in ADI", World Conference on ADI, 1991 Chicago/USA/.
- [13] J.A. Sikora, H.A. Dallo, Guriburu, "ADI in Argentina: Development and Applications" World conference on ADI, 191 Chicago, USA.
- [14] J. Moore, T. N. Rouns, k.B. Roundman, "Structure and Mechanical Properties of ADI", AFS Trans. PP. 705-718.
- [15] T.S. Shin, P.Y. Lin, C.H. Chang, " A Study of the Austempring of Cu-Ni Alloyed Ductile Iron" AFS Trans. PP. 604-630.
- [16] S.M.A. Boutorabi, "Ph.D. thesis, Birmingham University, 1991.